

## ИССЛЕДОВАНИЕ СОБСТВЕННОЙ ПРОВОДИМОСТИ КВАЗИКРИСТАЛЛОВ СИСТЕМЫ Al-Cu-Fe В МОДЕЛИ БЕСЩЕЛЕВОГО ПОЛУПРОВОДНИКА

А.Ф.Прекул, А.Б.Рольщиков, Н.И.Щеголихина

Институт физики металлов РАН

620219 Екатеринбург, Россия

Поступила в редакцию 8 января 1997 г.

Получены экспериментальные доказательства того, что собственная проводимость квазикристаллов при низких температурах следует закону  $T^{3/2}$ .

PACS: 61.44.+p, 72.20.-i

Вследствие исключительно высокой чувствительности резистивных свойств квазикристаллов к флуктуациям состава, условиям закалки и последующей термической обработке, на протяжении нескольких лет ведется дискуссия о том, каковы же свойства собственно квазикристаллической фазы [1].

В частности, в последнее время получила развитие "полупроводниковая гипотеза" электронной зонной структуры квазикристаллов. В температурных зависимостях электропроводности  $\sigma(T)$  стабильных квазикристаллов на основе алюминия обнаружены составляющие, подобные собственной проводимости полупроводников вследствие термической активации носителей из валентной зоны в зону проводимости [2, 3]. При этом в системе Al-Pd-Re оказалось достаточным прибегнуть к традиционной форме

$$\sigma(T) = A \exp(-E_g/2k_B T), \quad (1)$$

где  $E_g$  - параметр энергетической щели,  $k_B$  - постоянная Больцмана и  $A = \text{const}$ , означающей, что подвижность носителей в зоне проводимости изменяется с температурой как  $T^{-3/2}$  [4].

Иначе повела себя система Al-Cu-Fe. Измерения [3] показали, что в низкотемпературной области ( $T < 300$  К) щель, если и есть, то она мала [5]. Тогда достаточно хорошим приближением является простая степенная зависимость

$$\sigma_{int}(T) = AT^{3/2}. \quad (2)$$

Использование полупроводниковой модели показывает, что если составляющая вида (2) является собственной проводимостью квазикристалла, она должна оставаться неизменной либо слабо изменяющейся частью в сравнении с общей проводимостью системы. Последняя, как известно, благодаря несобственной проводимости, может изменяться в широких пределах.

Мы изучили проводимость пяти образцов сплава с номинальным составом  $Al_{62}Cu_{25.5}Fe_{12.5}$ , остаточное сопротивление которых,  $\rho_{4.2}$ , изменяется от 3500 до 6300 мкОм·см. Все образцы имеют примерно одинаковые размеры  $1 \times 1 \times 10$  мм. Электросопротивление измеряется обычным 4-зондовым методом. Точность измерений  $10^{-5}$ , стабильность температуры во всех точках интервала 4.2 - 300 К не хуже  $10^{-1}$  К. Графические иллюстрации даются для одного образца с  $\rho_{4.2} = 5500$  мкОм·см. Для общего заключения используется численное сопоставление результатов обработки.

Результаты прямого эксперимента в виде температурной зависимости  $\sigma(T)$  показаны на рис.1. Они типичны для исследуемого вещества и отличаются

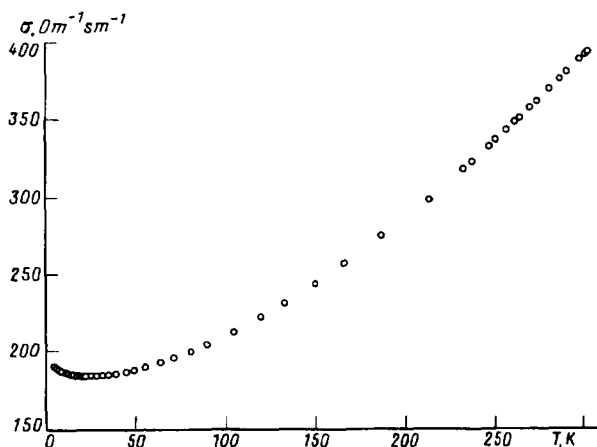


Рис.1. Температурная зависимость проводимости квазикристалла Al-Cu-Fe

наличием конечной проводимости при самых низких температурах и минимума при  $T \approx 20$  К. В терминах полупроводниковой модели, обе особенности связаны с проводимостью несобственных носителей,  $\sigma_{ext}$ .

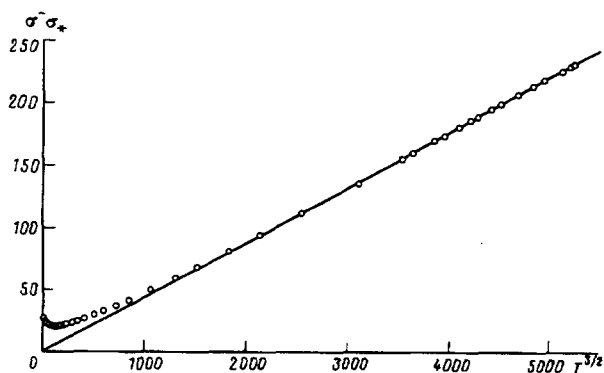


Рис.2. Описание температурной зависимости проводимости законом  $T^{3/2}$  при аппроксимации несобственной проводимости квазикристалла константой  $\sigma_*$ .

На рис.2 показан результат использования формулы (2) при учете составляющей  $\sigma_{ext}$  в простейшем виде произвольной температурнонезависимой величины  $\sigma_*$ . Это – единственный подгоночный параметр линейризации эксперимента в координатах  $[\sigma(T) - \sigma_*]$  от  $T^{3/2}$ . Линейризация достигается без особого труда. Температурный интервал линейризации 100 – 300 К хорошо совпадает с ранее определенным интервалом 80 – 250 К. Это говорит о том, что приближение нулевой щели действительно является хорошим приближением.

В то же время нетрудно видеть, что ограничение интервала линейризации снизу обусловлено грубостью аппроксимации несобственной проводимости в виде температурнонезависимой величины. Мы воспользовались указаниями многих исследований на то, что в проводимости квазикристаллов при низких температурах существенны "корневые" поправки, связанные с учетом электрон-электронного взаимодействия [6]. Наличие минимума на кривых  $\sigma(T)$  позволяет предположить несобственную проводимость в виде

$$\sigma_{ext} = \sigma_0 - BT^{1/2}, \quad (3)$$

а общую проводимость в виде

$$\sigma(T) = AT^{3/2} + \sigma_0 - BT^{1/2}. \quad (4)$$

Возможность описания эксперимента формулой (4) удобно оценивать в координатах  $[\sigma(T) - \sigma_0]/T^{1/2}$  от  $T$ . Единственным подгоночным параметром здесь является величина  $\sigma_0$  - остаточная проводимость системы при абсолютном нуле температур. Конечный результат на рис.3 показывает, что практически идеальная линейаризация достигается в интервале 15 - 300 К.

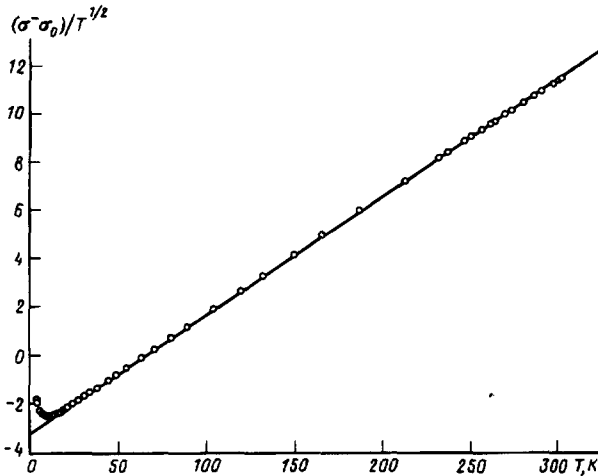


Рис.3. Описание температурной зависимости проводимости законом  $T^{3/2}$  при учете несобственной проводимости квазикристалла в виде  $\sigma_{ext} = \sigma_0 - BT^{1/2}$

Общая картина поведения проводимости, показанная нами для одного из образцов на рис.1-3, сохраняется для всех остальных образцов в изученном нами интервале величин  $\rho_{4,2}$ . Остается сравнить коэффициенты  $A$  при законе  $T^{3/2}$ . Максимальное значение этого коэффициента 0.06, минимальное 0.046, в среднем же  $A = 0.053 \pm 13\%$ . Разброс явно меньше, чем различия в величине  $\sigma_0$ , которая в среднем равна  $224.5 \pm 30\%$ . При этом надо учесть, что если разброс величин  $\sigma_0$  определен с точностью определения геометрических размеров образцов, которую мы оцениваем в  $\pm 5\%$ , то в разброс коэффициента  $A$ , кроме этой погрешности, вносят лепту неточное знание температурной зависимости несобственной проводимости и возможные изменения основных параметров носителей заряда, эффективной массы и подвижности. Так что действительный разброс величин  $A$  составляет, по-видимому, не более  $\pm 5\%$ .

С учетом сказанного, полученные нами результаты можно рассматривать как экспериментальное доказательство того, что собственная проводимость квазикристаллов системы Al-Cu-Fe при низких температурах следует закону  $T^{3/2}$ .

Работа выполнена при поддержке Российского фонда фундаментальных исследований (проект 96-02-19586).

1. C.Janot, Phys. Rev. 1, 81 (1996).
2. D.N.Basov, F.S.Pierce, P.Volkov et al., Phys. Rev. Lett. 73, 1865 (1994).
3. А.Ф.Прекул, Л.В.Номерованная, Н.И.Шеголикина и др., ФММ 82, 5 (1996).
4. Ф.Дж.Блатт, Теория подвижности электронов в твердых телах, Москва-Ленинград, ГИФМЛ, 1963, (F.J.Blatt, Theory of mobility of electrons in solids, New York, Academic Press Inc., 1957).
5. И.М.Цидильковский, Бесщелевые полупроводники - новый класс веществ, М.: Наука, 1986.
6. S.J.Poon, Adv. Phys. 41, 303 (1992).